

Faire avancer la sûreté nucléaire

Épidémiologie et risques sanitaires liés au radon

Énora CLÉRO

Épidémiologiste, IRSN

Journée thématique ARRAD

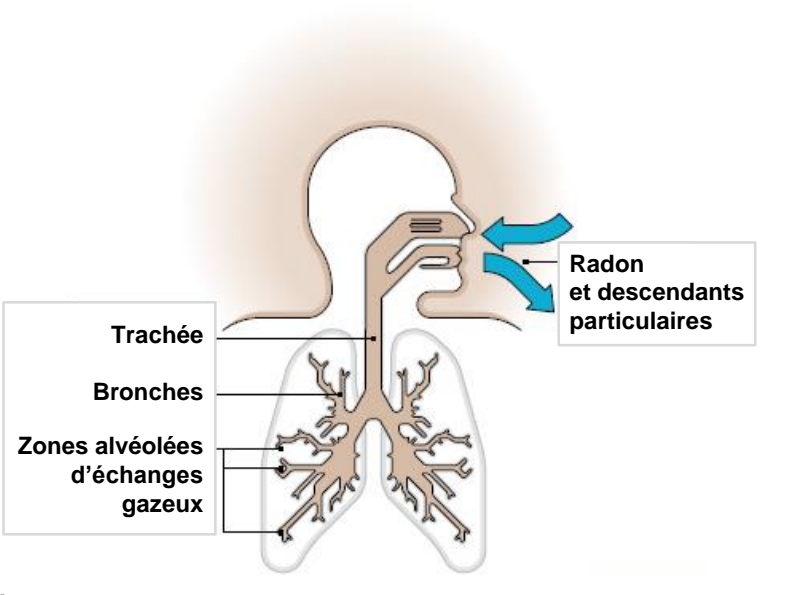
« Radon : un ancien problème avec de nouvelles dimensions »

Fribourg, 30 novembre 2018

© IRSN

Le radon et ses mécanismes d'action

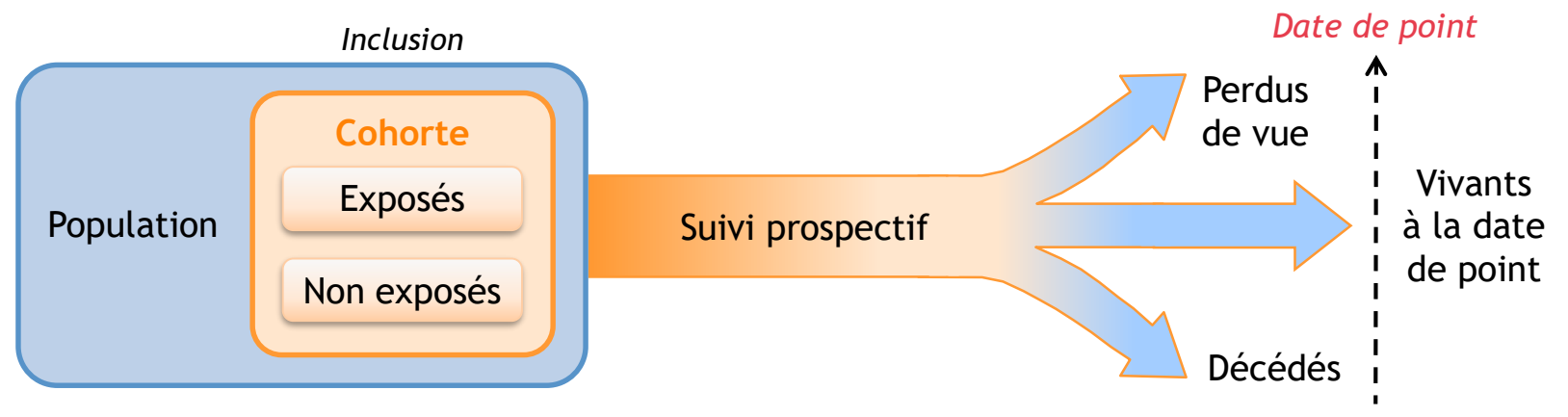
- Inhalation du radon
 - Exposition interne au radon et à ses descendants
- Les radionucléides se distribuent dans le corps, principalement dans le poumon où ils se désintègrent en irradiant les tissus
- Les modèles dosimétriques montrent que :
 - > 90 % de la dose reçue est délivrée au poumon
 - □ Doses délivrées aux autres organes ≈ 100 fois inférieures
 - Mais, une part de cette dose peut être délivrée à la moelle osseuse (organe à risque pour la survenue de la leucémie)
- En 1988, le Centre International pour la Recherche contre le Cancer (CIRC-OMS) a classifié le radon comme cancérigène pulmonaire certain chez l'homme
 - Etudes expérimentales in vivo et in vitro sur l'inhalation du radon chez l'animal (rat, hamster, chien)
 - Etudes épidémiologiques chez les mineurs



Deux principaux types d'études à visée étiologique

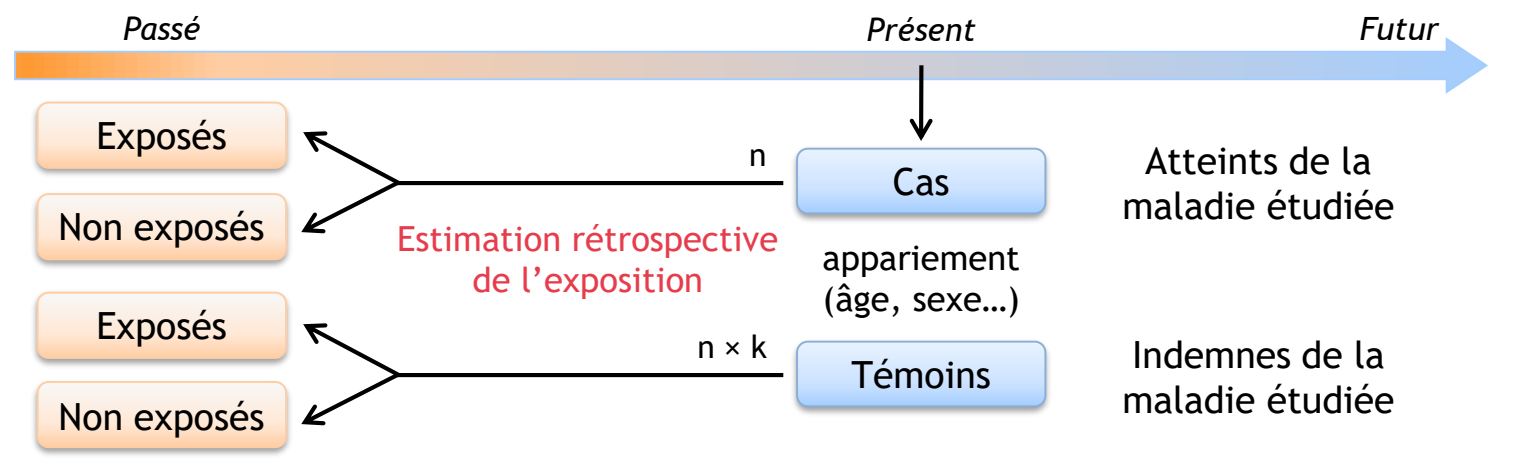
① Etudes de cohorte

Comparer la fréquence de <u>survenue de la maladie</u> dans 2 groupes : exposés et non exposés



② Etudes cas-témoins

Comparer la fréquence de l'exposition au facteur de risque dans 2 groupes : cas et témoins



Etudes épidémiologiques des risques associés au radon

① <u>Mineurs d'uranium</u>

(exposition professionnelle)



Etudes de cohorte

- Mises en place à partir des années 60
- Plus d'une vingtaine d'études
- Suivi dosimétrique individuel des travailleurs
- Suivi de la mortalité sur plusieurs dizaines d'années



Estimer le risque de cancer du poumon associé à l'exposition cumulée au radon dans les mines / les habitations

Données individuelles

Relation temporelle : la cause vers l'effet 1 facteur de risque → plusieurs maladies Long et coûteux + Perdus de vue Mal adapté en cas de maladies rares 2 Population générale

(exposition domestique)



Etudes cas-témoins

- Mises en place à partir des années 90
- Plus d'une vingtaine d'études
- Reconstruction de l'exposition au radon
- Questionnaires: reconstruction détaillée de l'historique tabagique, autres facteurs de risque de cancer du poumon

Données individuelles

Relation temporelle: l'effet vers la cause

1 maladie → plusieurs expositions

Biais de sélection (choix des témoins)

+ mesure (reconstitution difficile des expos)

- I. Etudes chez les mineurs
- II. Etudes en population générale
- III. Evaluations d'impact sanitaire



Etudes chez les mineurs à travers le monde

Études épidémiologiques chez les mineurs :

Uranium Canada (Ontario, Port Radium, Beaverlodge) Etats-Unis (Colorado, Nouveau Mexique) République Tchèque (Bohème) France, Allemagne, Australie

Fluorine - Canada (Newfoundland)

Etain Chine Grande-Bretagne République Tchèque Fer - Suède



Mineurs: population pertinente

- Exposition chronique aux rayonnements ionisants
- Exposition à des doses +/- faibles (selon la période et les cohortes)
- Bon suivi administratif et dosimétrique

Intérêts en santé publique et radioprotection

- Affiner la connaissance des risques sanitaires radio-induits pour des doses faibles et de faibles débits de dose (apporter des éléments permettant de décrire les risques associés à l'exposition au radon, comprendre la forme des relations)
- Contribuer à l'amélioration des normes de radioprotection
- Contribuer à l'estimation des risques liés à l'exposition au radon domestique



Cohorte française des mineurs d'uranium (1/5)



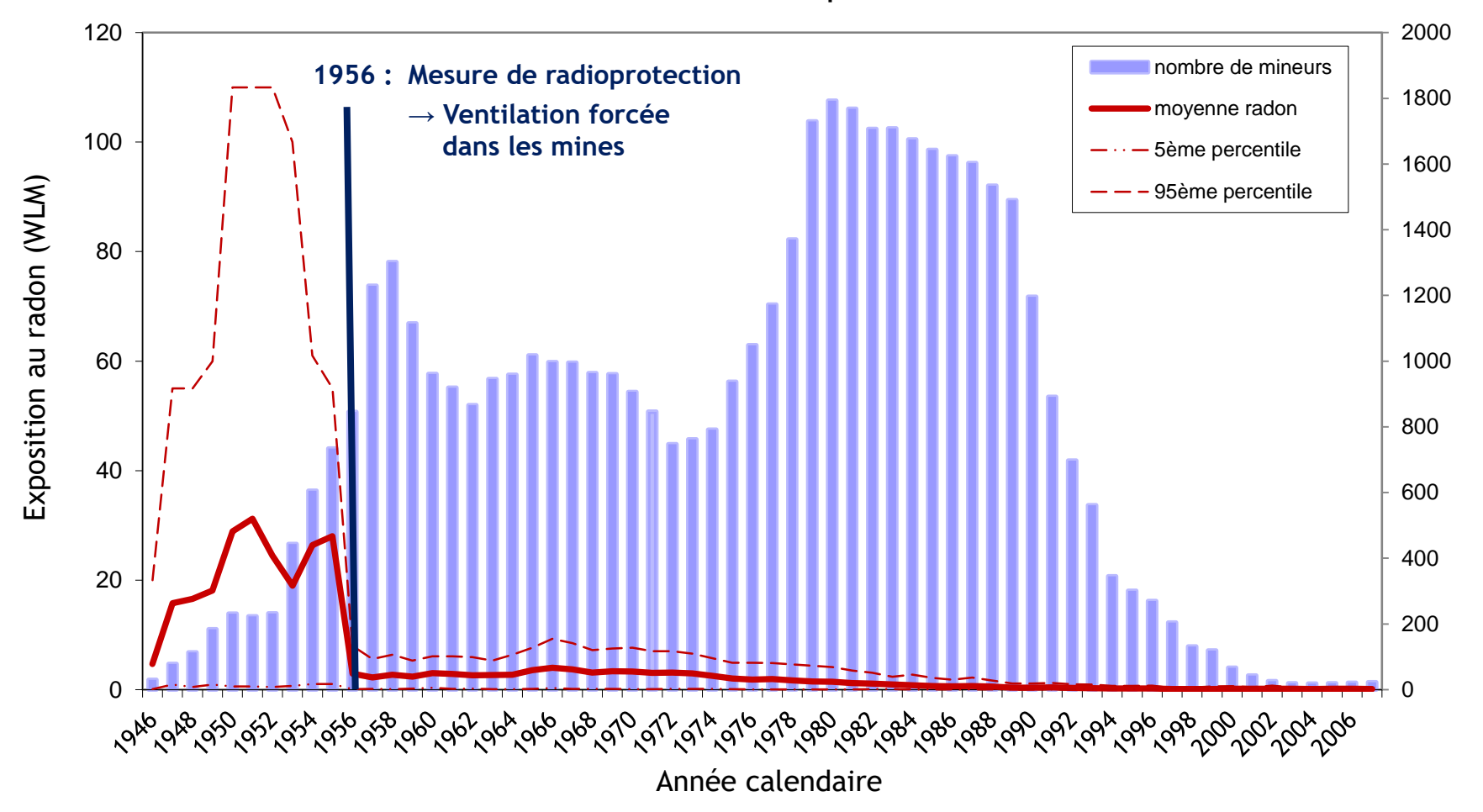
Rayonnements Gamma Poussières d'uranium Radon + silice, diesel, arsenic

| Etude épidémiologique

- Mise en place en 1982 (par IPSN et COGEMA)
- Inclusion des hommes ayant le statut mineur
- Embauchés à CEA-COGEMA entre 1946 et 1990
- Suivi reconstitué jusque fin 2007 (nouveau suivi en cours \rightarrow 2015)
- Recueil du statut vital et des causes de décès
- Estimation de l'exposition annuelle individuelle au radon
 (+ autres rayonnements ionisants : gamma, poussières d'uranium)

Cohorte française des mineurs d'uranium (2/5)

Distribution de l'exposition annuelle au radon (WLM) dans la cohorte totale sur la période 1946-2007



Working Level Month: unité d'exposition au radon (concentration × temps de travail), 5 WLM ⇔ 1 mSv (Travailleurs)

Nombre de mineurs

Cohorte française des mineurs d'uranium (3/5)

Caractéristiques de la cohorte française

Nombre de mineurs, n	5 086
Période de suivi	1946 - 2007
Personnes-Années, n	179 955
Statut vital, n (%) Vivants à la fin du suivi Décédés Décédés avec causes connues Décédés par cancer du poumon Perdus de vue Âgés > 85 ans	2 924 (57,5 %) 1 935 (38,0 %) 1 876 211 40 (0,8 %) 187 (3,7 %) 3 % de données manquantes pour les causes de décès
Suivi, moyenne (min-max)	
Âge à la fin de l'étude (années)	64,2 (20 - 85)
Durée du suivi (années)	35,4 (0,1 - 61)

(Rage et al. Intern Arch Occup Envir Health 2015)



Mortalité par cancer du poumon (par rapport à la population générale)

Causes de décès	n
Toute cause	1876
Tout cancer	721
Cavité orale et pharynx	42
Estomac	33
Intestin, colon, rectum	63
Foie	31
Larynx	30
Poumon	211
Cerveau et système nerveux central	28
Prostate	51
Rein	24
Leucémie	24
Tout site sauf poumon et rein	486
Maladie de l'appareil circulatoire	442
Maladie ischémique	167
Maladie cérébrovasculaire	105
Maladie de l'appareil respiratoire	110
Silicose	30

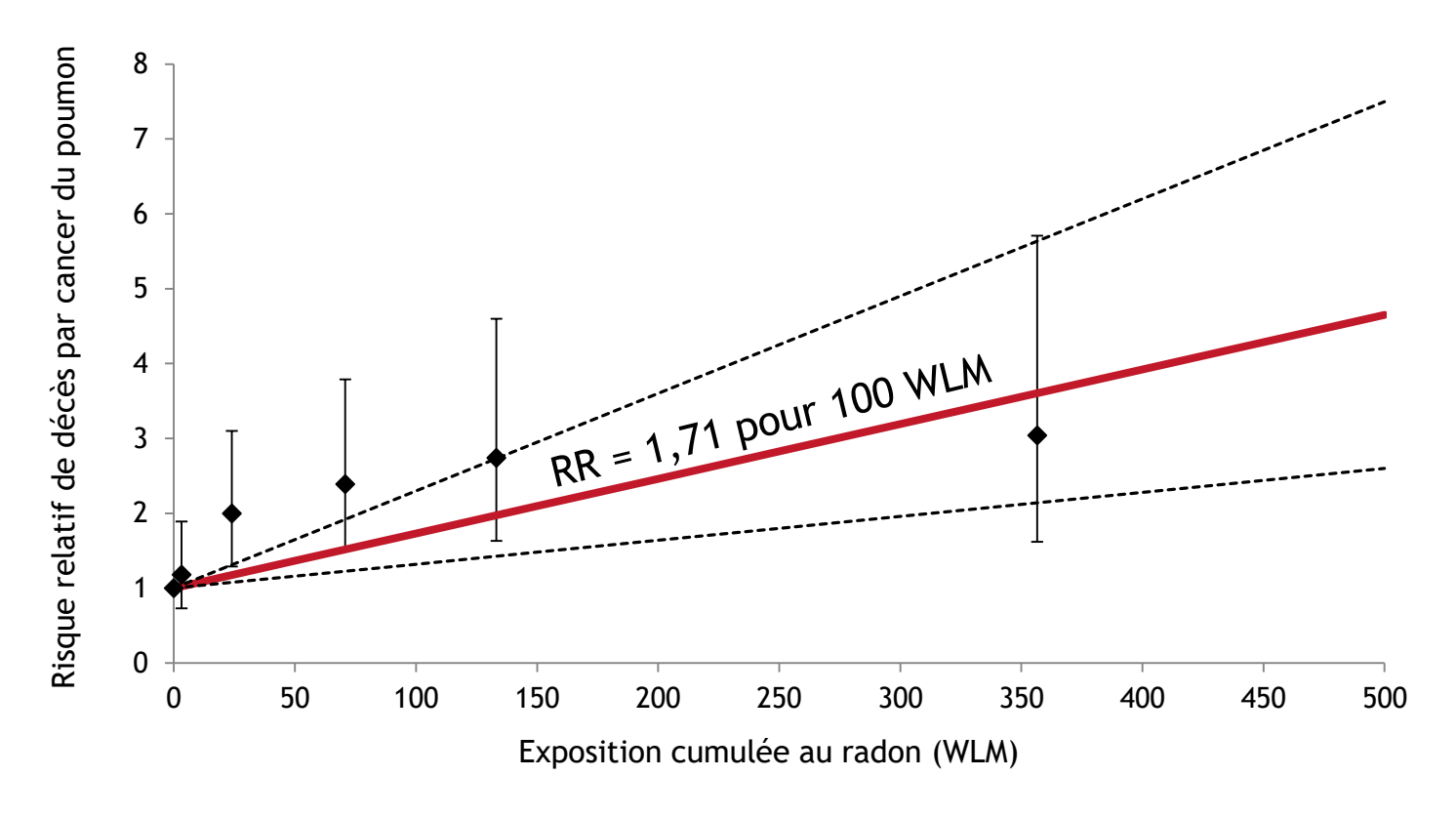
	SMR	IC 95%
•	1,01	[0,96-1,05]
₩1	1,12	[1,04-1,21]
	0,96	[0,69-1,30]
<u> </u>	1,13	[0,78-1,58]
-	1,06	[0,81-1,35]
├	1,13	[0,77-1,60]
-	1,11	[0,75-1,59]
⊢↓	1,34	[1,16-1,53]
—	1,46	[0,97-2,11]
-	1,21	[0,90-1,59]
1	1,60	[1,03-2,39]
├	1,33	[0,85-1,98]
+ ◆+	1,03	[0,94-1,13]
F.	0,93	[0,84-1,02]
F	0,92	[0,79-1,07]
⊢	0,96	[0,79-1,17]
⊢	1,11	[0,91-1,33]
// *	6,12	[4,13-8,74]
0.0 0.5 1.0 1.5 2.0 2.5		



↗ significative de la mortalité par cancer du poumon

Cohorte française des mineurs d'uranium (5/5)

Relation entre exposition au radon et risque de décès par cancer du poumon





ERR = 0.71 [0.31 - 1.30]

significative du risque de cancer du poumon associé à l'exposition cumulée au radon

Etude conjointe internationale de 11 cohortes de mineurs

Place	Country	Type of mine	Follow-up period	No. of miners	Cumulative exposure WLM	Person- years ^a	ERR per 100 WLM	SE
Yunnan	China	Tin	1976–1987	13,649	286.0	134,842	0.17	
W-Bohemia	Czech	Uranium	1952-1990	4320	196.8	102,650	0.67	
	Republic							
Colorado	USA	Uranium	1950-1990	3347	578.6	79,556	0.44	
Ontario	Canada	Uranium	1955-1986	21,346	31.0	300,608	0.82	
Newfoundland	Canada	Fluorspar	1950-1984	1751	388.4	33,795	0.82	
Malmberget	Sweden	Iron	1951-1991	1294	80.6	32,452	1.04	
New Mexico	USA	Uranium	1943-1985	3457	110.9	46,800	1.58	
Beaverlodge	Canada	Uranium	1950-1980	6895	21.2	67,080	2.33	
Port Radium	Canada	Uranium	1950-1980	1420	243.0	31,454	0.24	
Radium Hill	Australia	Uranium	1948-1987	1457	7.6	24,138	2.75	
CEA-COGEMA	France	Uranium	1948-1986	1769	59.4	39,172	0.51	
Total				60,606	164.4	888,906	0.59	1.32

WLM, working level month; ERR, excess relative risk; SE, multiplicative standard error.

(BEIR VI, 1999)



^a Among exposed.

Etudes chez les mineurs d'uranium : risque associé au radon et tabac

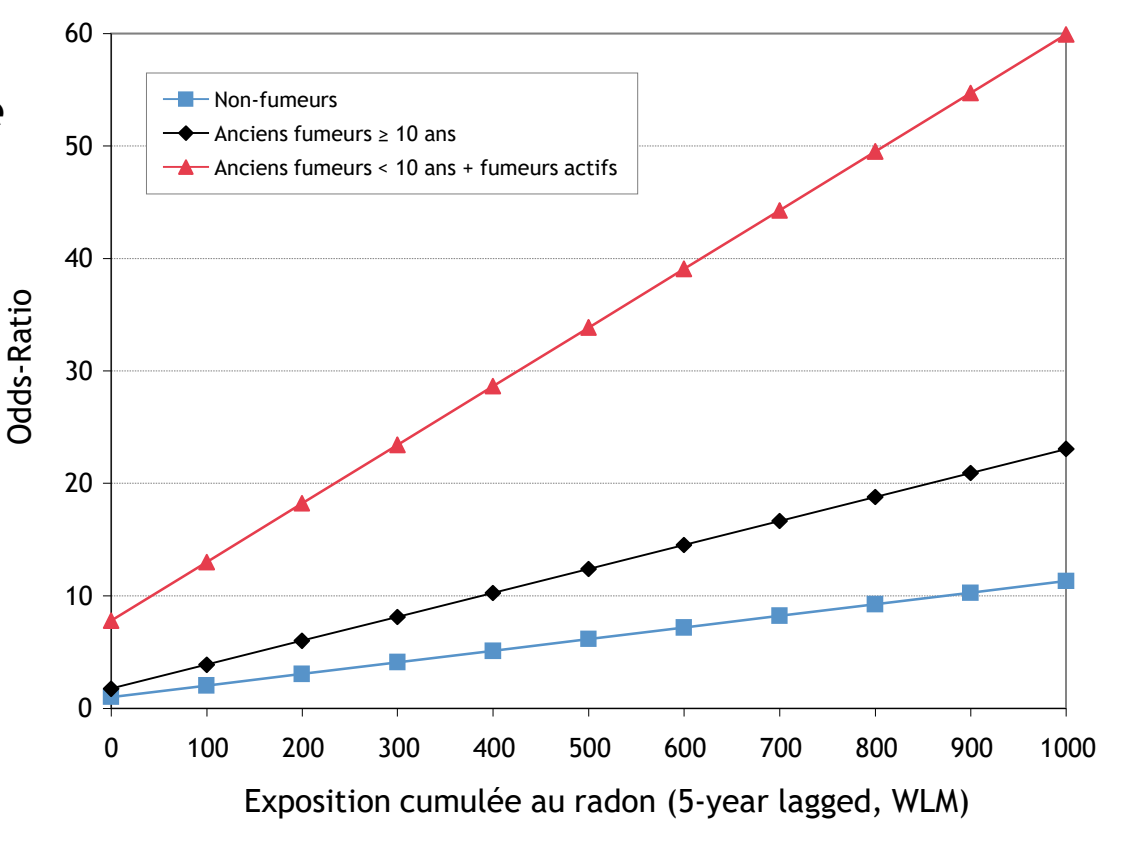


Statut tabagique Etude conjointe européenne

Étude cas-témoins nichée

- France
- Allemagne
- République Tchèque
- 1 236 cas (cancers du poumon)
- 2 678 témoins

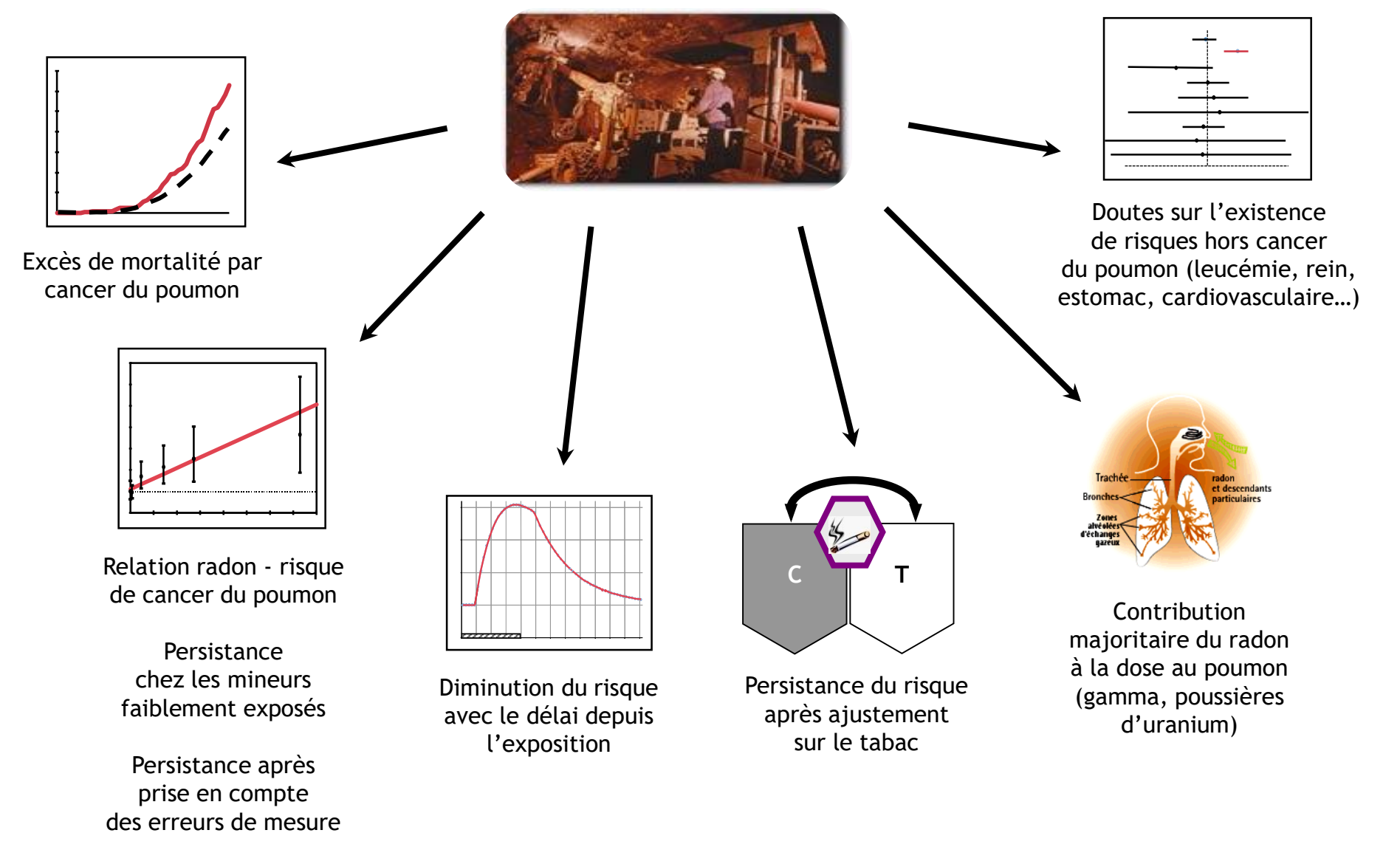




Persistance de la relation avec le radon après prise en compte du tabac Augmentation du risque dans chaque catégorie de tabagisme Interaction sub-multiplicative (Leuraud et al. Radiat Res 2011)



Etudes chez les mineurs : principaux résultats



Etude internationale chez les mineurs d'uranium Pooled Uranium Miners Analysis (PUMA)

Objectif général

Constituer une large cohorte internationale de mineurs d'uranium :

- Affiner les estimations de risque de mortalité
- Estimer les risques de mortalité au sein de sous-groupes de population



Cohortes incluses dans l'étude PUMA

Pays	Institution	N	Période de suivi	Durée de suivi (ans)
Canada, Ontario	CCO	28 546	1954-2007	33
Canada, Eldorado				
Hommes	UCSF	13 574	1950-1999	31
Femmes	UCSF	1 073	1950-1999	31
République Tchèque	SURO	9 978	1952-2010	31
France	IRSN	5 086	1946-2007	35
Allemagne				
Hommes	BfS	54 919	1946-2013	40
Femmes	BfS	3 725	1946-2013	40
USA, Colorado Plateau	NIOSH	4 137	1960-2005	30
USA, New Mexico	UNC/USC	3 469	1943-2012	37
Etude conjointe (total)		124 507		

IRSN

- I. Etudes chez les mineurs
- II. Etudes en population générale
- III. Evaluations d'impact sanitaire



Radon domestique et cancer du poumon : études cas-témoins

Auteur	Année de publication	Région	Cas/témoins	RR par 100 Bq.m ⁻³	IC 95 %
Schoenberg	1990	USA (New Jersey)	480/442	1,49	0,89 - 1,89
Blot	1990	Chine	308/356	0,95	* - 1,08
Pershagen	1992	Suède	201/378	1,16	0,89 - 1,92
Pershagen	1994	Suède	1 281/2 576	1,10	1,01 - 1,22
Letourneau	1994	Canada	738/378	0,98	0,87 - 1,27
Alavanja	1994	USA (Missouri)	538/1 183	1,08	0,95 - 1,24
Auvinen	1996	Finlande	517/517	1,11	0,94 - 1,31
Ruosteenoja	1996	Finlande	164/331	1,80	0,90 - 3,50
Darby	1998	Grande-Bretagne	982/3 185	1,08	097 - 1,20
Ala	4000	LICA (Adiana)	247/299	0,85	0,73 - 1,00
Alavanja	1999	USA (Missouri)	372/471	1,63	1,07 - 2,93
Field	2000	USA (Iowa)	413/614	1,24	0,95 - 1,92
Kreienbrock	2001	Allemagne	1 449/2 297	0,97	0,82 - 1,14
Pisa	2001	Italie	138/291	1,40	0,30 - 6,66
Lagarde	2001	Suède	436/1 649	1,10	0,96 - 1,38
Wang	2002	Chine	763/1 659	1,19	1,05 - 1,47
Lagarde	2002	Suède	110/231	1,33	0,88 - 3,00
V	2002	Allowed	4 400 /4 / 40	1,75	0,96 - 5,30
Kreuzer	2003	Allemagne	1 192/1 640	1,08	0,97 - 1,20
Baysson	2004	France	486/984	1,04	0,99 - 1,11
Bochicchio	2005	Italie	384/404	1,14	0,89 - 1,46
Wichmann	2005	Allemagne	2 963/4 232	1,10	0,98 - 1,30
Sandler	2006	USA (Connecticut, Utah)	1 474/1 811	1,002	0,79 - 1,21
Wilcox	2008	USA (New Jersey)	561/740	1,05	0,86 - 1,56
Turner	2011	USA	3 493/811 961	1,15	1,01 - 1,31
Brauner	2012	Danemark	589/52 692	1,04	0,69 - 1,56

Etude cas-témoins en France (1/3)

Objectif

 □ Déterminer si le risque de décès par cancer du poumon est associé à l'exposition au radon domestique

Protocole

- Période d'étude : 1992 1998
- Sujets recrutés en Auvergne, Limousin, Bretagne (sols granitiques)
 - + Languedoc-Roussillon (zone sédimentaire riche en radon)
- 486 cas de cancer du poumon recrutés dans 5 hôpitaux universitaires
- 984 témoins recrutés dans les hôpitaux des mêmes régions (appariement sur âge, sexe et hôpital)

Facteurs de risque

- Mesures de radon réalisées pendant 6 mois avec 2 dosimètres (salon, chambre)
 dans chaque domicile occupé durant les 30 dernières années
- Questionnaire:
 - ✓ Habitudes de vie (ventilation, chauffage)
 - Habitudes tabagiques
 - Expositions professionnelles, antécédents médicaux, niveau d'études...

Etude cas-témoins en France (2/3)

Résultats descriptifs

- Exposition au radon reconstituée sur plus de 20 ans
- Concentration de radon (à partir de 2 195 adresses)
 - ✓ Moyenne = 141 Bq.m⁻³
 (de 53 Bq.m⁻³ en Languedoc-Roussillon à 187 Bq.m⁻³ en Limousin)
 - ✓ Médiane = 79 Bq.m⁻³ chez les cas / 77 Bq.m⁻³ chez les témoins

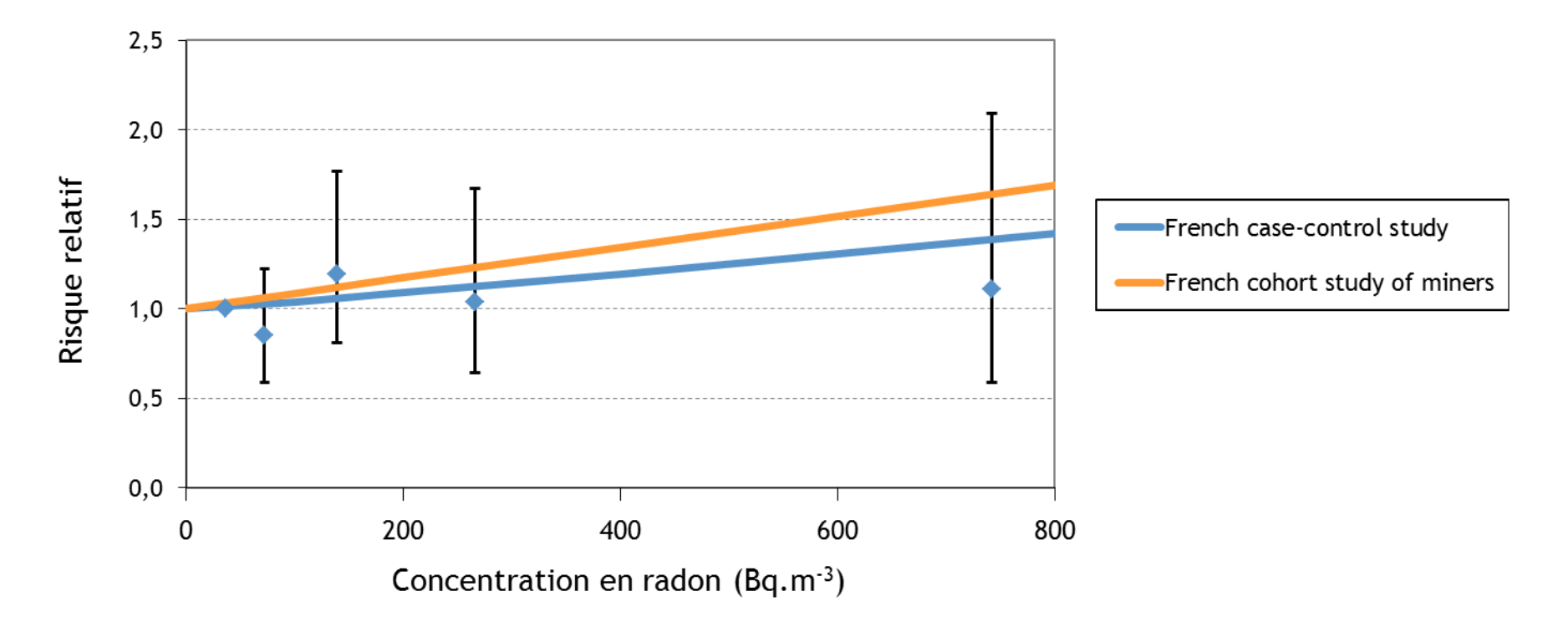
Risque de cancer du poumon associé au radon

- RR = 1,04 par 100 Bq.m⁻³ $IC_{95\%} = [0,99 1,11]$ (ajusté sur l'âge, le sexe, la région, le tabac et les expositions professionnelles)
- □ RR = 1,07 par 100 Bq.m⁻³ IC_{95%} = [1,00 1,14] (analyse restreinte aux sujets dont l'exposition a pu être mesurée sur la totalité des 30 dernières années, n=850)
- Ce risque reste faible par rapport au risque associé au tabac

Etude cas-témoins en France (3/3)

Discussion

- □ Résultat concordant avec les résultats issus des études précédentes
- Résultat concordant avec les extrapolations des études sur les mineurs



Si 1 WLM \approx 230 Bq.m⁻³ pendant 1 an \rightarrow RR = 1,09 par 100 Bq.m⁻³

Etude cas-témoins européenne (1/3)

3 études conjointes

Groupe		Etudes n	Cas n	Témoins n	RR / 100 Bq.m ⁻³ (IC 95%)
Européen	Darby 2005	13	7 148	14 208	1,08 (1,03 - 1,16)
Nord Américain	Krewski 2006	7	3 662	4 966	1,10 (0,99 - 1,26)
Chinois	Lubin 2004	2	1 050	1 995	1,13 (1,01 - 1,36)



Etude conjointe européenne en population générale

- □ 13 études dans 9 pays : Allemagne, Belgique, Espagne, Finlande, France, Italie, Grande-Bretagne, République Tchèque, Suède
- Protocole standardisé :
 - Critères d'inclusion identiques
 - Questionnaire commun
 - Reconstruction de l'exposition domestique sur 30 ans
 - ✓ Inter-comparaison des méthodes de mesure
 - Analyse conjointe des données individuelles
- Effectif: 7 148 cas / 14 208 témoins



Etude cas-témoins européenne (2/3)

Concentration moyenne dans l'habitat

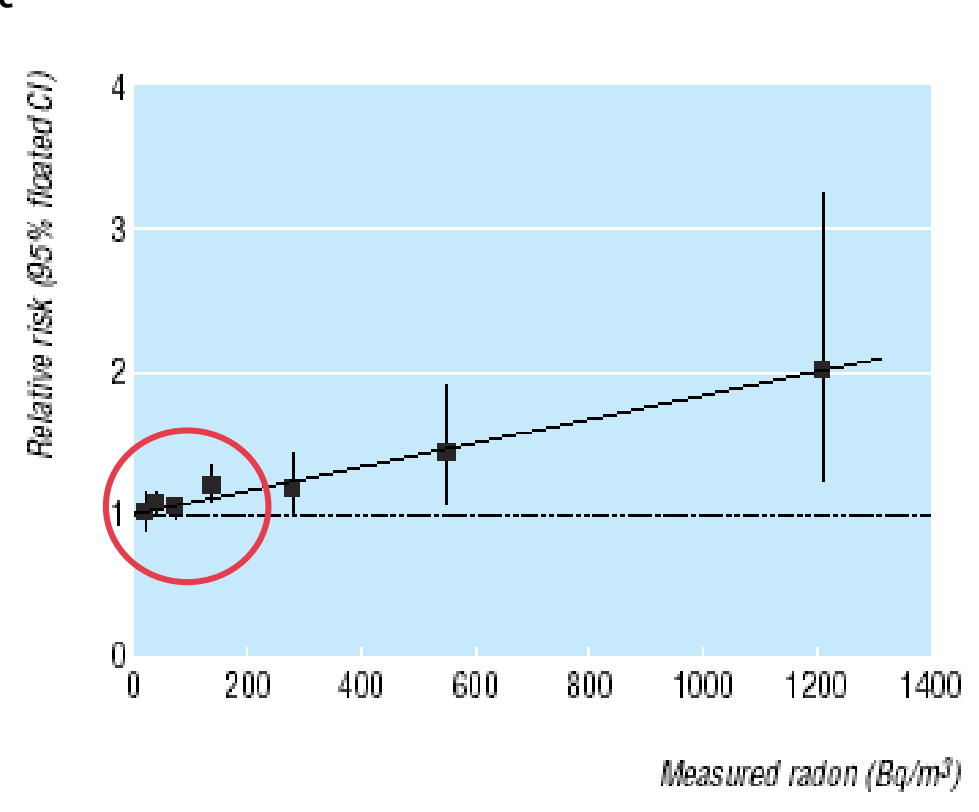
Cas =
$$104 \text{ Bq.m}^{-3}$$

Témoins = 97 Bq.m^{-3}

risque de cancer du poumon avec la concentration de radon

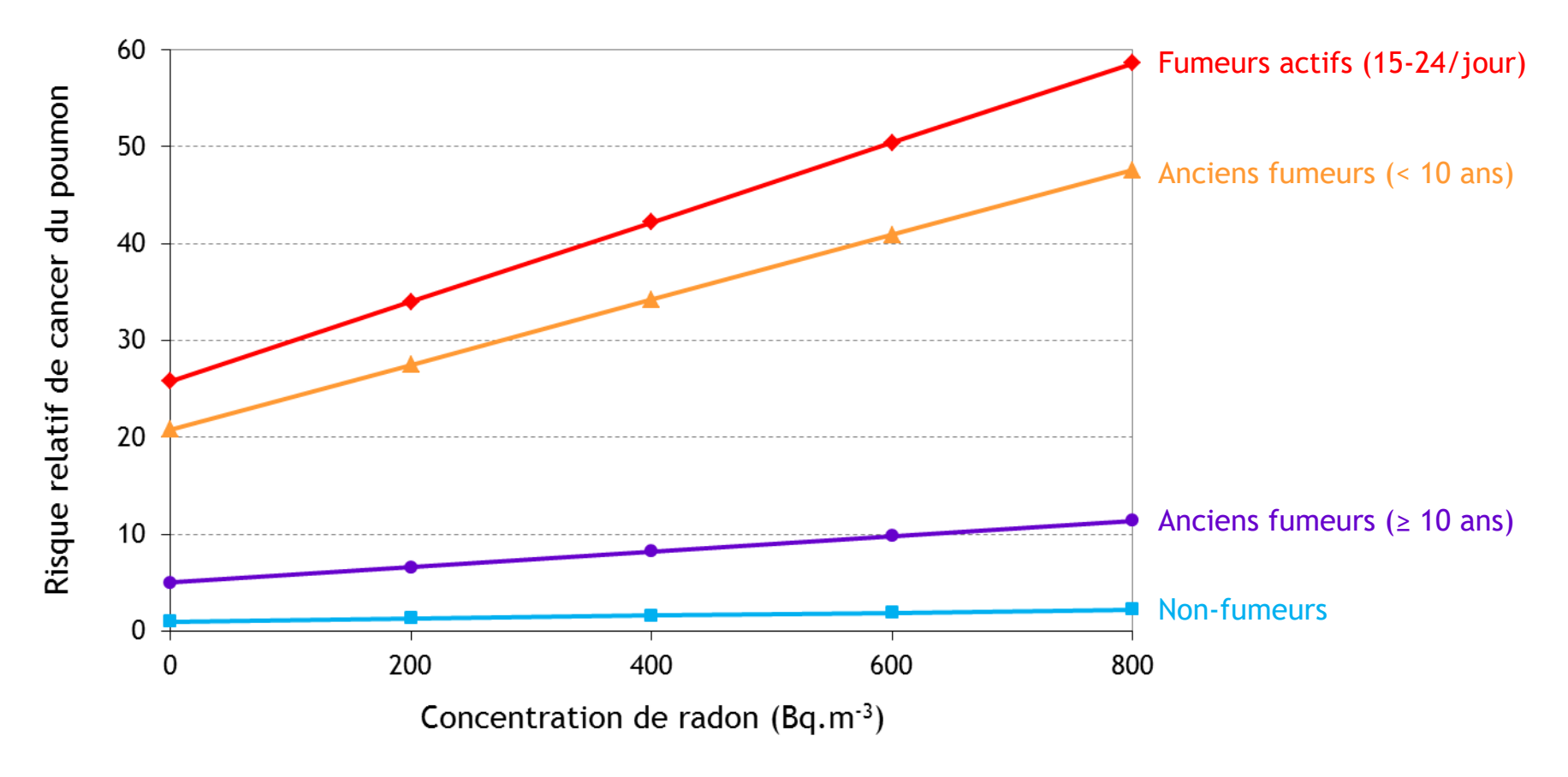
RR =
$$1,08$$
 par 100 Bq.m⁻³ [$1,03 - 1,16$]

RR = 1,16 par 100 Bq.m⁻³ [1,05 - 1,31] après prise en compte des incertitudes liées aux estimations des concentrations de radon



Relation significative pour les expositions < 200 Bq.m⁻³

Effet conjoint du radon et du tabac





Relation significative persiste chez les fumeurs et les non-fumeurs

23

Etudes cas-témoins sur le radon domestique et le risque de cancer du poumon : <u>conclusion</u>

- □ Une vingtaine d'études épidémiologiques depuis 1990
- Puissance des études individuelles généralement insuffisante pour conclure à une association significative
- Trois analyses conjointes:
 - Preuve claire d'association :
 Augmentation du risque de cancer du poumon avec l'exposition cumulée au radon dans l'habitat, après une stratification détaillée sur le statut tabagique
 - La relation dose-réponse semble être linéaire,
 sans élément en faveur de l'existence d'un seuil



24

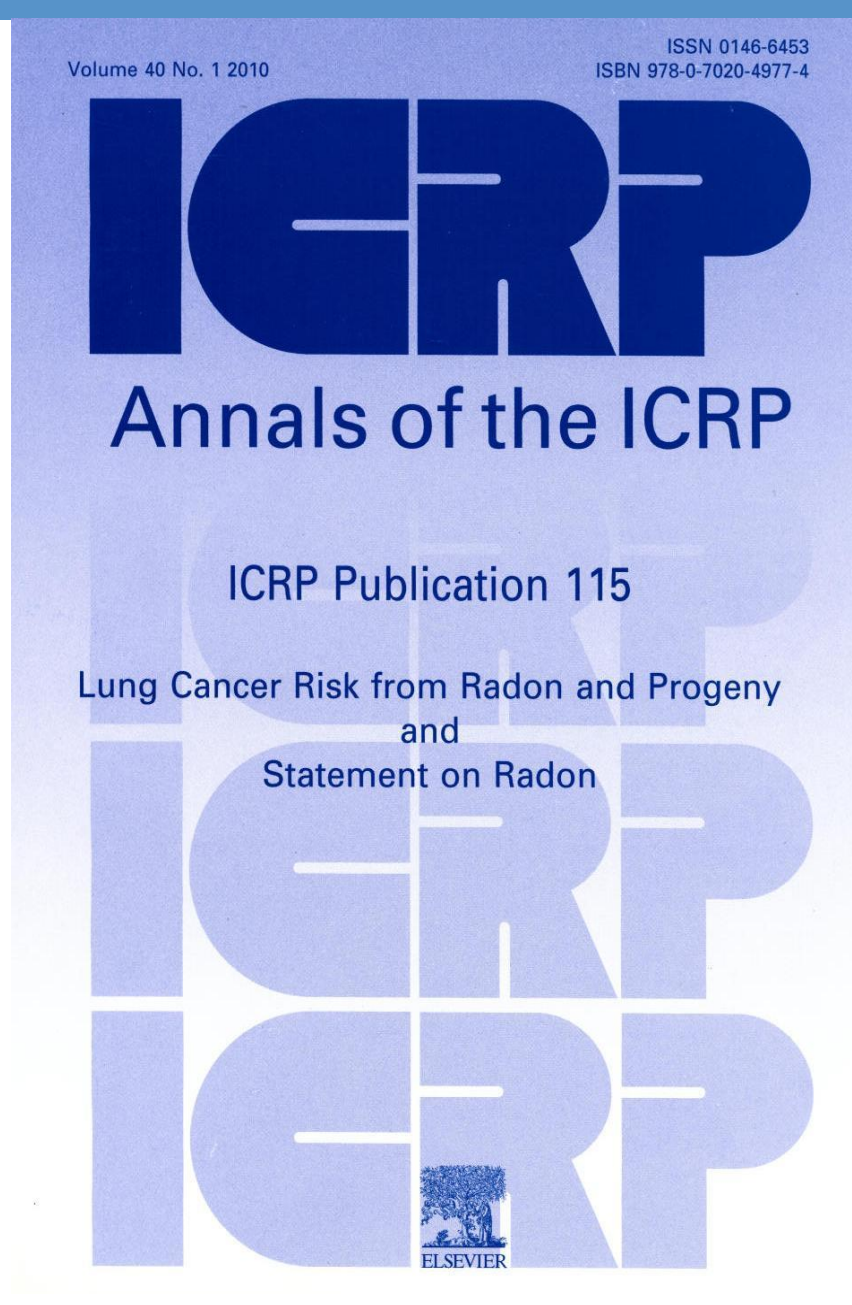
État des connaissances sur les risques associés au radon

- □ Cancer du poumon : aujourd'hui, seul effet démontré associé au radon (études sur leucémie, cancer de la peau, du cerveau, de l'estomac)
- □ Bonne cohérence des résultats mineurs et population générale
- □ Augmentation du risque relatif ≈ 16 % pour 7 100 Bq.m⁻³ (concentration moyenne sur 25 années de résidence)
- □ Temps de latence entre 5 et 30 ans
- □ Accroissement du risque pour les fumeurs comme pour les non-fumeurs
- Interaction tabac-radon entre l'effet additif et multiplicatif
- □ Lacune de connaissances sur les effets des expositions durant l'enfance

Nouvelle évaluation du risque radon

Publication CIPR 115 (2010)

- Mise à jour de la revue de la littérature scientifique depuis la publication CIPR 65 (1993)
- Bonne concordance des estimations de risque chez les mineurs peu exposés et de celles en population générale
- Aucune preuve de risque associé au radon, en dehors du cancer du poumon
- Calcul du détriment vie entière du cancer du poumon dû au radon et à ses descendants



Facteurs de conversion de dose pour le radon



« Approche épidémiologique » pour les hommes travailleurs

	Risque vie entière de cancer du poumon (WLM ⁻¹)	Détriment (Sv ⁻¹)	Dose efficace (mSv.WLM ⁻¹)
1993	2,8.10 ⁻⁴ (CIPR 65)	5,6.10 ⁻² (CIPR 60)	5
2010	5.10 ⁻⁴ (CIPR 115)	4,2.10 ⁻² (CIPR 103)	12

(Marsh et al. Health Phys 2010)



Augmentation du risque vie entière dans la CIPR 115 par rapport à la CIPR 65



Valeur du facteur de conversion : 3,3 mSv par mJ.h.m⁻³ (≈ 12 mSv.WLM⁻¹) Publication CIPR 137 (2018)

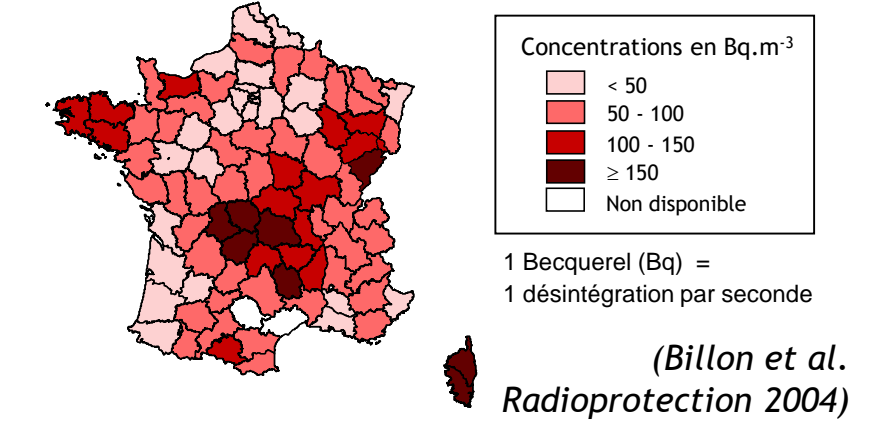
- I. Etudes chez les mineurs
- II. Etudes en population générale
- III. Evaluations d'impact sanitaire

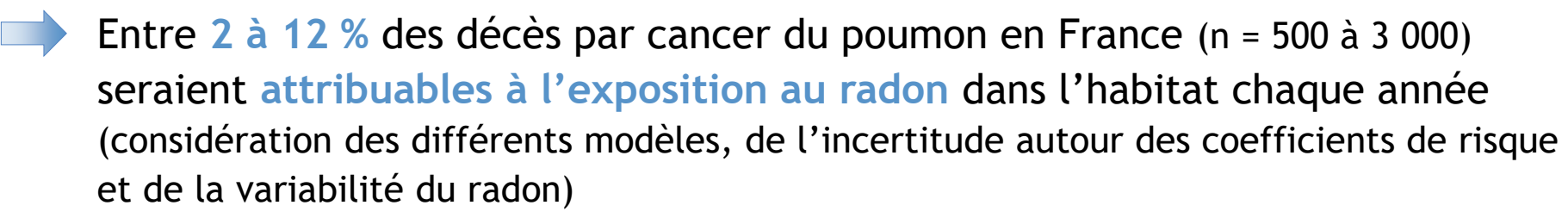


Evaluation quantitative du risque de cancer du poumon en France métropolitaine

- 1ère évaluation au niveau national (Catelinois et al. Environ Health Perspect 2006)
 - → Estimer le nombre de décès par cancer du poumon attribuables à l'exposition au radon domestique en France
- Identification de la population
 - Recensement (Insee 1999)
 - Taux de mortalité (Inserm 1999)
 - Pourcentages de fumeurs (Insee-Credes)
- 3 Choix du modèle de relation exposition-risque
 - Études sur la population générale (Darby 2005)
 - □ Études sur les mineurs (BEIR VI 1999)
 - □ Interaction radon-tabac (BEIR VI 1999)

- 2 Estimation de l'exposition au radon domestique
 - Campagne de mesures (IRSN-DGS, 1982-2003)

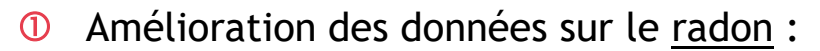




Pourquoi faire une nouvelle évaluation en France ?









Modèle géostatistique

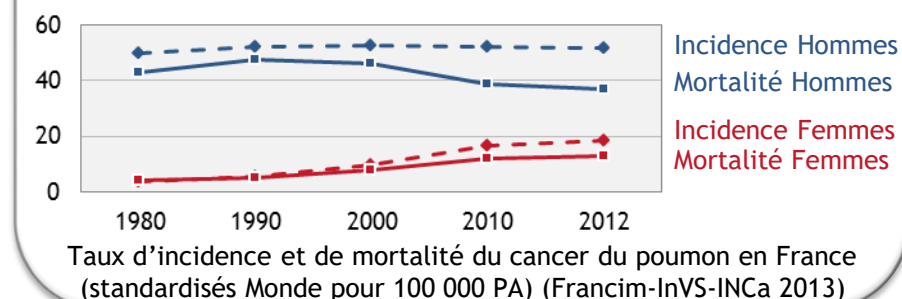


Campagne IRSN-DGS (1982-2003), géolocalisation à l'adresse (2012) Carte du potentiel radon géogénique (IRSN 2010)

Estimation de la concentration en radon dans l'habitat en France métropolitaine : valeur moyenne estimée pour chaque commune

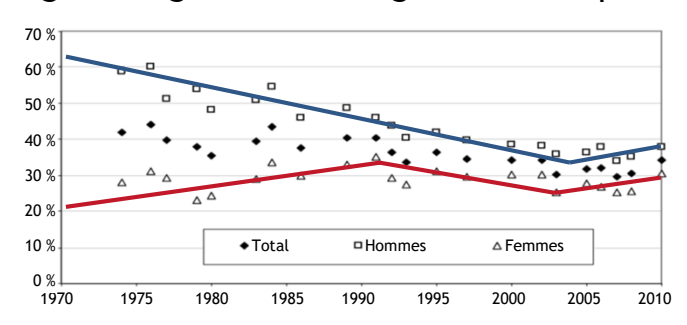
Variation temporelle des données sur le cancer du poumon :

Nette augmentation observée chez les femmes en incidence et mortalité



Évolution des données sur le <u>tabac</u>:

Changement global du tabagisme actuel par sexe



(Enquêtes CFES 1974-2000; Inpes 2003, 2005 et 2010)

- 4 Limites des <u>modèles de risque</u> des études sur les mineurs :
- Extrapolation des fortes doses aux faibles doses
- Transposition d'une population de mineurs à la population générale
- Étude européenne détaillée sur le radon dans l'habitat avec plusieurs coefficients

(Darby et al. BMJ 2005; Darby et al. Scan J Work Environ Health 2006)

Matériels et méthodes : évaluation d'impact sanitaire

Population

par sexe, classe d'âge de 5 ans et commune (Insee 2012)

Mortalité par cancer du poumon

par sexe, classe d'âge de 5 ans et commune (CépiDc 2008-2012)

Exposition au radon

par commune (IRSN 2012)

Exposition au tabac

par sexe, au niveau national (Inpes 2014)

Modèle de relation exposition-risque

ERR = 0,16 par 100 Bq.m⁻³ sur une durée de 30 ans (Darby et al. BMJ 2005)

Fraction attribuable (PAF) et nombre de décès attribuable

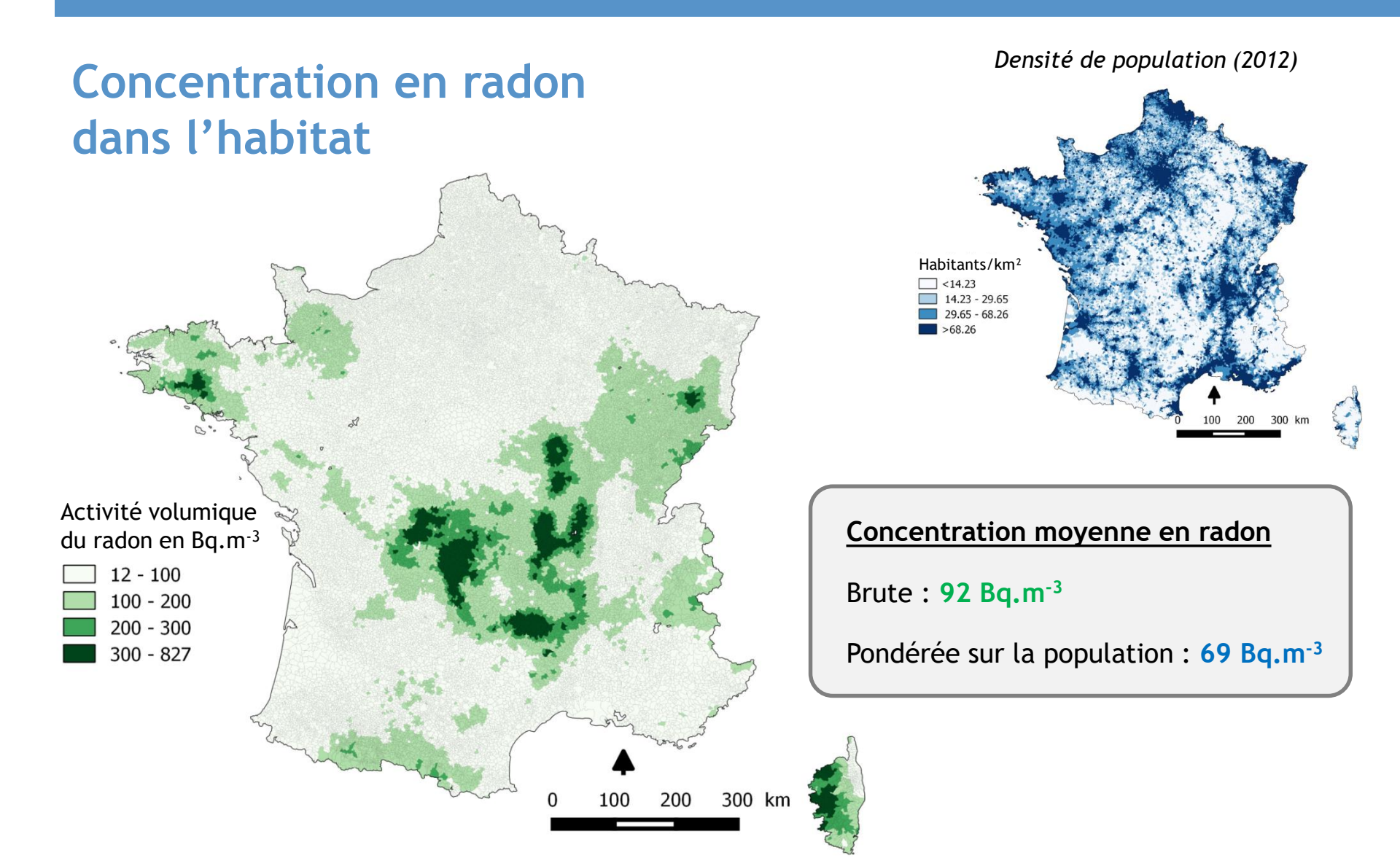
→ Radon (commune)

$$RR_{ville} = 1 + \beta \, radon_{ville}$$

$$PAF_{ville} = (RR_{ville} - 1) / RR_{ville}$$

$$NA_{age,sexe,ville} = PAF_{ville} \times N total_{age,sexe,ville}$$

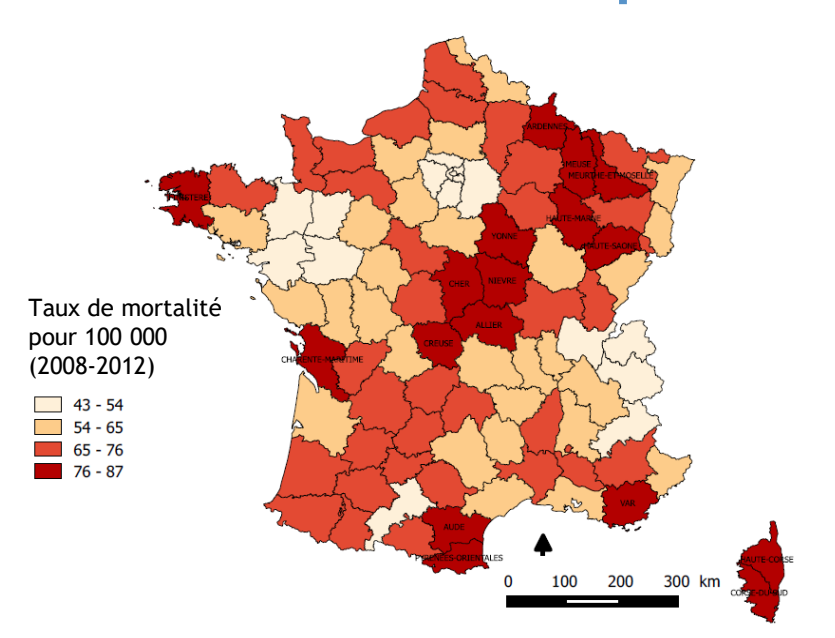
→ Effet combiné radon-tabac (national) (Bochicchio et al. Rad Measurements 2013; Pesch et al. IJC 2012)

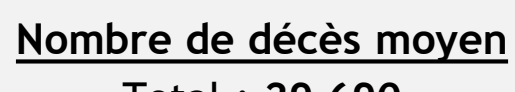


Sources: IGN-Géofla 2013, IRSN 2012, Insee 2012 - © IRSN 2017



Cancers du poumon en France métropolitaine

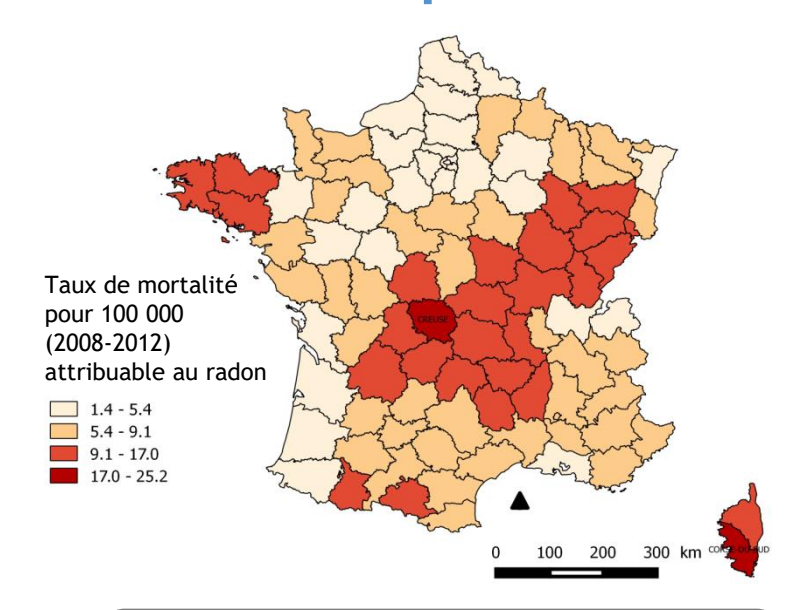




Total: 29 690

Hommes 22 230 (75 %)

7 459 (25 %)



Nombre de décès attribuables

Total: 2 924 [1 007 - 5 069] sur 29 690 observés en France

Hommes

2 199

[757 - 3 811]

Femmes

725

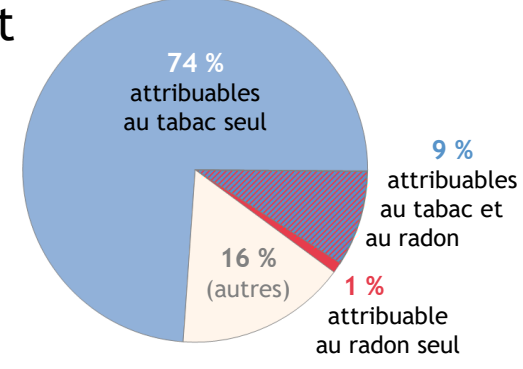
[250 - 1 258]



Fraction attribuable: 10 % [3 - 17]

Evaluation d'impact sanitaire du radon : conclusion

- Le nombre annuel de décès par cancer du poumon attribuables à l'exposition domestique au radon en France métropolitaine est de 3 000 [1 000 5 000], ce qui correspond à une fraction attribuable de 10 % [3 17]
- Parmi ce nombre de décès estimé,
 - 66 % surviendraient pour des expositions ≤ 100 Bq.m⁻³
 - → ceci concernerait 84 % de la population française et 71 % des communes
- La prise en compte de la consommation tabagique montre que :
 - □ le nombre de décès est ≈ 3 fois plus élevé chez les fumeurs actuels
 - 20 % des décès attribuables au radon surviendraient chez des anciens fumeurs et
 - 5 % chez des personnes qui n'ont jamais fumé



Décès par cancer du poumon

(Ajrouche et al. Radiat Environ Biophys 2018)

Fractions attribuables au radon : incidence et mortalité du cancer du poumon

Cancers du poumon attribuables au radon, chaque année en France

Incidence	Mortalité
4 000 nouveaux cas	3 000 décès
soit 10 % des nouveaux cas de cancer du poumon	soit 10 % des décès par cancer du poumon







Marant-Micallef et al.

Les cancers attribuables au mode de vie et à l'environnement en France en 2015. BEH 2018

Rapport CIRC publié en juin 2018

Ajrouche et al.

Quantitative health impact of indoor radon in France. Radiat Environ Biophys 2018

Gaskin et al.

Global estimate of lung cancer mortality attributable to residential radon. *Environ Health Physics 2018*



Fractions attribuables au radon dans le monde

Davie	Exposition au	Frac	Fraction attribuable au radon dans l'habitat (%)				
Pays	radon (Bq.m ⁻³)	BEIR VI a	Hunter ^b	Kreuzer ^c	Krewski ^d	Darby ^e	
Cuba	5	4,3	2,3	2,1	1,6	1,2	
Australie	9	4,7	3,7	3,5	2,1	1,6	
Royaume-Uni	14	8,0	5,8	5,4	4,1	3,1	
Algérie	22	15,8	9,0	8,3	6,4	4,8	
Chine	34	15,9	13,1	12,4	9,5	7,2	
Canada	42	16,3	15,5	14,6	11,2	8,6	
Corée du Sud	49	16,8	17,5	16,6	12,8	9,9	
France	50	19,4	17,8	16,9	13,0	10,0	
Suisse	51	19,6	18,2	17,2	13,2	10,3	
Suède	67	19,2	22,4	21,2	16,3	13,0	
Mexique	82	26,7	25,9	24,9	19,3	15,4	
Rép. Tchèque	94	24,3	28,9	27,5	21,4	17,3	
Pologne	133	28,4	36,1	34,8	27,3	22,6	
66 pays (médiane)	38	16,5	14,4	13,6	10,4	8,4	

Exposition au radon : moyenne géométrique nationale

(Gaskin et al. Environ Health Physics 2018)



^a Modèle EAC « âge concentration », analyse conjointe de 11 cohortes de mineurs du BEIR VI (NRC 1999)

^b Analyse conjointe de 3 études européennes sur les mineurs (Hunter et al. 2013)

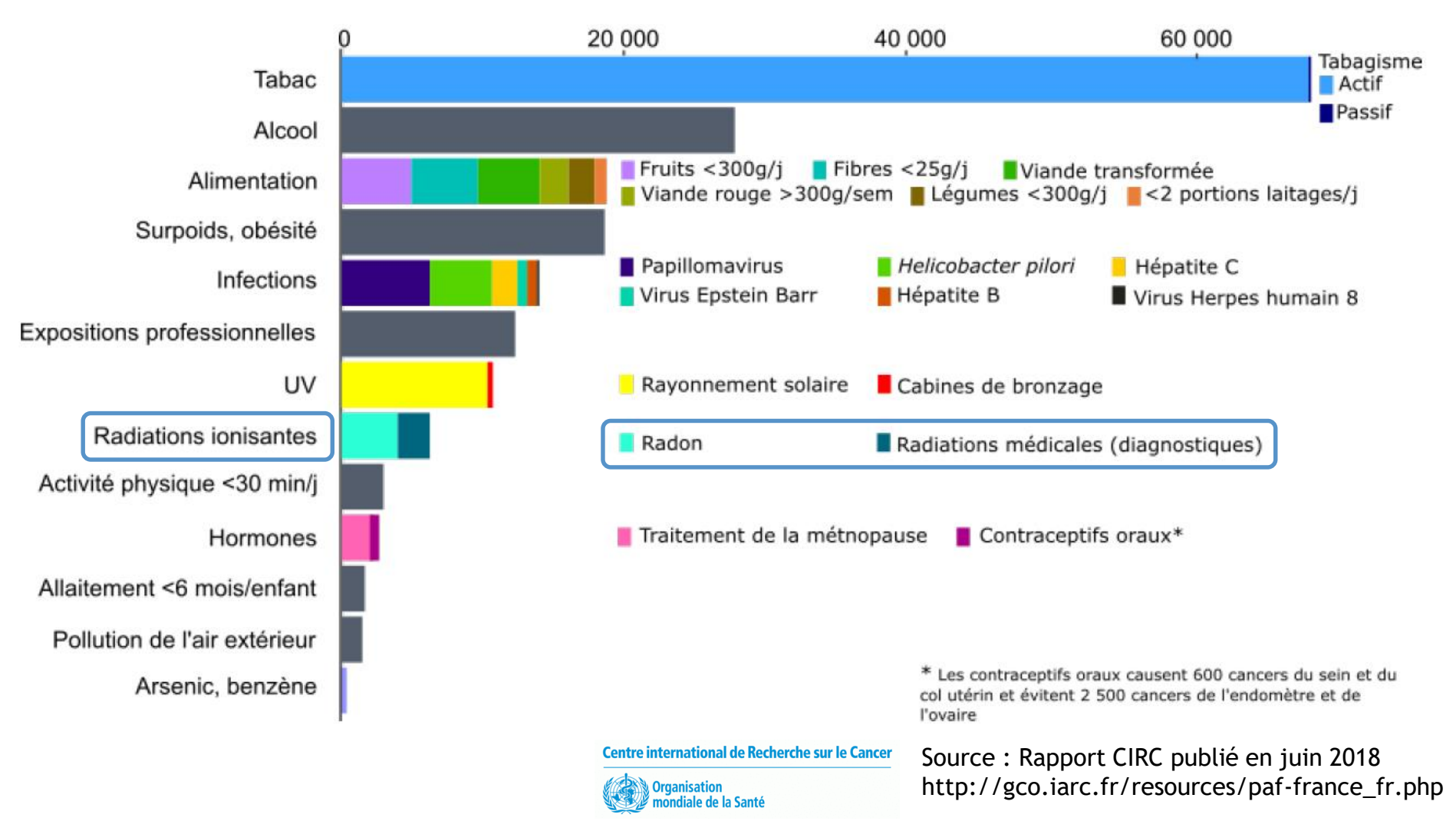
^c Cohorte allemande de mineurs d'uranium (Kreuzer et al. 2015)

^d Analyse conjointe nord-américaine en population générale (Krewski et al. 2003)

e Analyse conjointe européenne en population générale (Darby et al. 2006)

Nombre de nouveaux cas de cancer attribuables aux facteurs liés au mode de vie et à l'environnement en France en 2015 parmi les adultes de 30 ans et plus

Nombre de cancers



Merci pour votre attention

